



## کنترل بازوی رباتیک با استفاده از روش ترانهاده ژاکوبین بهبود یافته و جبران ساز اصطکاک

سیدرضا نقیبی<sup>۱</sup>, علی‌اکبر پیرمحمدی<sup>۲</sup>, سیدعلی اکبر موسویان<sup>۳\*</sup>

۱- دانشجو دکترا، مهندسی مکانیک، دانشگاه زنجان، زنجان

۲- استادار، مهندسی مکانیک، دانشگاه زنجان، زنجان

۳- استاد، مهندسی مکانیک، دانشگاه خواجه نصیرالدین طوسی، تهران

\* تهران، صندوق پستی ۱۹۳۹۵-۱۹۹۹

moosavian@kntu.ac.ir

### چکیده

در این مقاله مسئله کنترل دقیق بازوی رباتیکی با وجود نامعینی‌های دینامیکی و عوامل غیرخطی سخت مانند اصطکاک با استفاده از روش ترانهاده ژاکوبین بهبود یافته به همراه جبران ساز اصطکاک مدل مبنای انجام شده است. برای مدل سازی اصطکاک از مدل لاغر استفاده شده است و پارامترهای آن با استفاده از الگوریتم بهینه‌یابی فراابتکاری ماهی دهبا بدست آورده شده است. با مقایسه این الگوریتم با الگوریتم‌های فراابتکاری مشابه مانند توده کرم شب‌تاب، سرعت و دقت بالاتر این الگوریتم نشان داده می‌شود. پس از تعیین دقیق پارامترهای مدل و تعیین الگوی اصطکاک در محرک‌ها، با استفاده از روش ترانهاده ژاکوبین بهبود یافته و جبران ساز اصطکاک مدل مبنای پیاده‌سازی تجزیی بر روی یک ربات دولینکی در فضای کارترین ارائه می‌شود. همچنین به منظور مقایسه عملکرد این روش نسبت به دیگر روش‌های کنترل، ربات مورد نظر با استفاده از روش‌های کنترل مدل مبنای و ترانهاده ژاکوبین و همچنین جبران ساز اصطکاک با استفاده از شبکه‌عصبی تطبیقی توابع گاووسی شعاعی کنترل شده و عملکرد آنها با روش پیشنهادی مقایسه می‌شود. نتایج تجزیی نشان می‌دهد که کنترل ربات با استفاده از روش پیشنهادی دارای سرعت بیشتر در رسیدن به جواب، دقت بهتر، حذف کامل اصطکاک و مقاومت بهتر در برابر نامعینی‌های دینامیکی است. همچنین دارای محاسبات به مراتب کمتر نسبت به الگوریتم‌های مدل مبنای است.

### اطلاعات مقاله

مقاله پژوهشی کامل

دریافت: ۱۶ آبان ۱۳۹۶

پذیرش: ۲۶ آذر ۱۳۹۶

ارائه در سایت: ۲۲ دی ۱۳۹۶

کلید واژگان:

کنترل کننده ترانهاده ژاکوبین

مدل اصطکاک لاغر

شبکه عصبی تطبیقی تابع شعاعی گاووسی

## Control of manipulator in task space using Modified Transpose Effective Jacobian and model based friction compensator

Seyyed Reza Naghibi<sup>1</sup>, Ali Akbar Pirmohamadi<sup>1</sup>, Seyyed Ali Akbar Moosavian<sup>2\*</sup>

1- Department of Engineering, University of Zanjan, Zanjan, Iran

2- Department of Mechanical Engineering, Khajeh Nasiraldin Toosi University of Technology, Tehran, Iran

\* P.O.B. 19395-1999, Tehran, Iran, moosavian@kntu.ac.ir

### ARTICLE INFORMATION

Original Research Paper

Received 07 November 2017

Accepted 17 December 2017

Available Online 12 January 2018

Keywords:

TJ controller

LuGre friction model

RBF adaptive neural network

### ABSTRACT

This paper considers the issue of precise control of robotic manipulators in the presence of dynamic uncertainties along with hard nonlinear perturbation such as friction using Modified Transpose Effective Jacobian and model based friction compensator. In order to model friction in robot joints, The LuGre friction model has been used and its unknown parameters have been identified by a bio-inspired optimization algorithm called Cuttlefish. By comparing Cuttlefish with other meta-heuristic algorithms such as Glowworm swarm optimization, its superiorities have been proved. After accurate identification of model parameters and determine frictions function, using Modified Transpose Effective Jacobian and model-based friction compensator, a two link planar manipulator has been controlled experimentally. Furthermore in order to compare the controller performance with other methods, the mentioned manipulator has been controlled using computed torque controller and transpose Jacobian besides Adaptive Radial Based Function Neural Network friction compensators. Experimental results offer the Modified Transpose effective Jacobian control method has privileges for better tracking control with more accuracy and better friction compensating as well as better robustness against dynamic uncertainties with lower computational efforts.

### -۱- مقدمه

در بسیاری از کاربردهای صنعتی، موقعیت‌دهی دقیق سیستم مکانیکی مطلوب است. از جمله این کاربردها می‌توان به درایو هاردیسک، سیستم‌های اپتیک، کنترل مسیر پرتابه‌ها، ربات‌های صنعتی در جوشکاری، نقاش و ربات‌های جراح اشاره کرد. استفاده از کنترل پسخورد روشی رایج در رسیدن به کنترل دقیق سیستم‌های مکانیکی است. برای رسیدن به این هدف، دانستن مدل دقیق سیستم و نیروهای موثر بر آن لازم است.

غیرخطی‌های سخت در سیستم‌های مکانیکی به خصوص محرک‌های الکتریکی و غیرالکتریکی، از مهمترین موانع در دستیابی به دقت بالا در کنترل است. اصطکاک از رایج‌ترین انواع نیروهای غیرخطی عملکننده و نامطلوب در تمامی سیستم‌های مکانیکی است. از آنجا که در هنگام تماس بین دو سطح، دانستن تمامی رخدادها امکان‌پذیر نیست، تعیین مدل دقیق از نیروی اصطکاک برای تمامی شرایط کاری بسیار دشوار است. مدل‌های گوناگونی برای اصطکاک با درجات دقت و پیچیدگی متفاوت پیشنهاد شده

Please cite this article using:

S. R. Naghibi, A. A. Pirmohamadi, S. A. A. Moosavian, Control of manipulator in task space using Modified Transpose Effective Jacobian and model based friction compensator, *Modares Mechanical Engineering*, Vol. 18, No. 01, pp. 335-344, 2018 (in Persian)

برای ارجاع به این مقاله از عبارت ذیل استفاده نمایید:

[www.SJTU.ir](http://www.SJTU.ir)

است. در این مقاله به منظور بررسی عملکرد کنترل کننده، پیاده‌سازی تجربی بر روی ربات دولینکی صفحه‌ای انجام شده و میزان دقت روش مورد نظر تایید می‌شود. همچنین به منظور مقایسه، ربات مورد نظر با استفاده از روش کنترلی مدل‌بنا و روش ترانهاده ژاکوبین و با جبران‌ساز اصطکاک شبکه عصی تطبیقی با تابع پایه شالی<sup>10</sup> کنترل می‌شود [17]. در این روش نیروهای غیرخطی نامعلوم اصطکاک با استفاده از شبکه عصبی تخمین زده می‌شود. بنابراین نوآوری‌های این مقاله را می‌توان به شکل زیر دسته‌بندی کرد:

1- استفاده از الگوریتم درونیابی فرابتکاری ماهی ده‌پا برای یافتن پارامترهای اصطکاک در محرك‌های ربات.

2- استفاده از روش کنترل ترانهاده ژاکوبین بهبودیافته به همراه جبران‌ساز پسخورد غیرخطی در کنترل ربات در فضای کاری برای غلبه بر نامعینی در محرك و اجزای مکانیکی ربات مقایسه آن با روش‌های دیگر.

در بخش 2 به تعیین مدل اصطکاک سیستم پرداخته می‌شود. بخش 3 کنترل کننده معرفی شده و در بخش 4 آزمایش تجربی انجام می‌شود.

## 2- شناسایی پارامترهای اصطکاک

در این بخش به تعیین مدل اصطکاک نامعلوم در محرك‌ها می‌پردازیم. پس از تعیین مدل محرك، به بیان الگوریتم ماهی ده‌پا و روش تعیین پارامترهای مدل لagger با استفاده از این الگوریتم پرداخته می‌شود.

### 2-1 مدل محرك

سیستم مورد نظر برای یافتن مدل اصطکاک، یک موتور DC با گیربکس است. این سیستم دارای اصطکاک داخلی در هردو بخش موتور و گیربکس است. در این مرحله از لقی سیستم صرفنظر می‌شود. مدل ریاضی چنین سیستم محركی یا سیستم دینامیکی مرتبه دوم با اصطکاک موجود بین دو سطح تماس بیان می‌شود:

$$J\dot{\omega} = \tau - T_F - T_L \quad (1)$$

که در آن  $J$  ممان اینرسی،  $\omega$  سرعت دورانی محرك،  $\tau$  سیگنال کنترل،  $T_F$  گشتاور اصطکاک و  $T_L$  گشتاور نیروی نامعلوم و اغتشاش است.

بررسی‌های تجربی بر روی جبران‌سازی اصطکاک وجود هر دو نوع اصطکاک کلمب و ویسکوز را تایید می‌کند. با توجه به مطالب ذکر شده در بخش‌های پیشین، برای در نظر گرفتن یک مدل دقیق و جامع برای اصطکاک سیستم از مدل اصطکاک لagger استفاده می‌شود. گشتاور اصطکاک برابر است با:

$$T_F = \sigma_0 z + \sigma_1 \dot{z} + \sigma_2 \omega \quad (2)$$

که در آن  $z$  متغیر حالت (تغییر شکل زبری)،  $\omega$  سرعت نسبی اجسام در حال تماس،  $\sigma_0$  ضریب سختی زبری،  $\sigma_1$  ضریب میرابی زبری،  $\sigma_2$  ضریب اصطکاک ویسکوز است. تغییرات شکل زبری‌ها از رابطه زیر بدست می‌آید.

$$\dot{z} = -\frac{|\omega|}{g(\omega)} z + \omega \quad (3)$$

( $\omega$ ) تابعی غیرخطیست که به وسیله رابطه زیر ارائه می‌شود:

$$\sigma_0 g(\omega) = F_C + (F_S - F_C) e^{-(\omega/\omega_S)^2} \quad (4)$$

که در آن  $F_C$  اصطکاک کلمب،  $F_S$  اصطکاک سکون و  $\omega_S$  سرعت استریک<sup>11</sup> است. [8]

### 2-2 الگوریتم ماهی ده‌پا

است. از جمله در [2,1] به مدل‌های استاتیک اشاره شده است. مدل‌های استاتیک به شکل غیردینامیک به نیروی اعمالی و سرعت بستگی دارند. ساده‌ترین مدل اصطکاک استاتیک، اصطکاک کلمب است که در آن نیروی اصطکاک به وسیله تابع سیگنوم بیان می‌شود. یکی از بزرگترین معایب مدل‌های اصطکاک استاتیک قابلیت محدود آنهاست که موجب عدم دقت در مدل می‌شود. اینگونه مدل‌ها قابلیت توصیف پدیده‌های سکون مانند جایجاوی پیش-لغزش<sup>1</sup> و پدیده‌های لغزش مانند عقبگرد اصطکاک<sup>2</sup> را ندارند. بنابراین مدل‌های استاتیک را باید به مدل‌های دینامیک تعمیم داد تا بتوان تعداد بیشتری از پدیده‌های اصطکاک را مدل کرد. از مدل‌های دینامیک می‌توان به مدل دال<sup>3</sup> در [3]، مدل بلیمن در [4] که به مدل‌سازی پدیده اصطکاک هیسترزیس می‌پردازد و مدلی جامع‌تر آن در [5]، مدل بهبود یافته لئون<sup>4</sup> در [6] و مدلی با در نظر گرفتن اثرات گوناگون دندانه‌ها در [7] اشاره کرد. مدل اصطکاک لagger<sup>5</sup> [8] که به صورت گسترش مورد استفاده قرار می‌گیرد، از جمله مدل‌های دینامیکی است که در پرگیرنده بسیاری از پدیده‌های اصطکاک است. این مدل به نسبت پیچیده بوده و دارای پارامترهای بسیاری است که باید تعیین شوند. برای تعیین این پارامترها عمده از روش‌های درونیابی استفاده می‌شود. روش‌های هوشمند فرابتکاری بسیاری از جمله الگوریتم ژنتیک در [9]، الگوریتم توده ذرات<sup>6</sup> در [10] و توده کرم شب‌تاب<sup>7</sup> در [13-11] برای تعیین پارامترهای نامعلوم اصطکاک مورد استفاده قرار گرفته‌اند. یکی از جدیدترین روش‌های بهینه‌سازی، روش درونیابی ماهی ده‌پا<sup>8</sup> (CFA) است [14]. در این مقاله برای تعیین پارامترهای نامعلوم مدل اصطکاک لagger، از این روش استفاده می‌شود. این الگوریتم رفتار پوست ماهی ده‌پا را در هماندسازی با محیط تقلید می‌کند. برای بررسی دقت و سرعت عملکرد آن، مقایسه‌ای تجربی با تعیین پارامترهای نامعلوم مدل صرف‌نظر از اصطکاک، عامل دیگری که در کنترل دقیق سیستم‌های مکانیکی تاثیر دارد، نامعینی در مدل‌سازی دینامیکی است.علاوه بر خطاها مدل‌سازی، عوامل گوناگونی باعث تغییر دینامیک سیستم در حین کار می‌شود. به همین منظور روش کنترلی که کمترین میزان وابستگی به مدل دینامیکی سیستم را داشته باشد و در برابر نامعینی‌ها بیشترین مقاومت را از خود نشان دهد بسیار مطلوب است. تاکنون روش‌های گوناگونی برای این منظور مورد استفاده قرار گرفته است. از جمله آنها می‌توان به روش ترانهاده ژاکوبین، مدل‌غزشی و کنترل تطبیقی اشاره نمود که هریک دارای مزايا و محدودیت‌هایی است.

روش ترانهاده ژاکوبین بهبود یافته<sup>9</sup> از جمله روش‌های غیرمدل‌بنا در کنترل ربات‌ها در فضای کاری است [15]. این کنترل از دستورات کنترلی در گام زمانی قبلی به عنوان ابزار یادگیری استفاده می‌کند. از مزایای آن می‌توان به ضرایب کنترلی کمتر و درنتیجه قابلیت عملکرد بهتر در حضور نویز و کنترل دقیق‌تر ربات مشابه روش مدل‌بنا با وجود نیاز به مدل دینامیکی و سادگی بیشتر اشاره کرد. با استفاده از این کنترل‌کننده و جبران‌ساز مدل‌مبانی بدست آمده، می‌توان به کنترل دقیق ربات‌ها در فضای کاری پرداخت. در [16] این روش با ضرایب تنظیم شونده مورد استفاده قرار گرفته

<sup>1</sup> Pre-sliding displacement

<sup>2</sup> Friction lag

<sup>3</sup> Dahl

<sup>4</sup> Leuven

<sup>5</sup> LuGre

<sup>6</sup> Particle swarm optimization

<sup>7</sup> Glowworm swarm optimization

<sup>8</sup> Cuttlefish

<sup>9</sup> Modified transpose Jacobian

<sup>10</sup> Radial base function adaptive neural network

<sup>11</sup> Stribeck

مساوی تقسیم شده و هر گروه به شکل مستقل بهینه می‌شود و تنها بهترین جواب میان آنها به اشتراک گذاشته می‌شود. در گروه اول موارد 1 و 2 در شکل 1 شبیه‌سازی می‌شود. رابطه این دو در معادلات (6) و (7) نشان داده شده است.

$$R \times G_1[i] \cdot P[j] = R \times G_1[i] \cdot P[j] \quad (6)$$

$$V \times (BestP[j]) - G_1[i] \cdot P[j] = V \times (BestP[j]) - G_1[i] \cdot P[j] \quad (7)$$

که در آن  $G_1[i]$  برابر با  $i$  امین عضو از گروه 1 است.  $BestP$  بهترین جواب است.  $R$  درجه بازتابش و  $V$  درجه پدیداری است و از روابط (8) و (9) بدست می‌آیند.

$$R = \text{rand}() \times (r_1 - r_2) + r_2 \quad (8)$$

$$V = \text{rand}() \times (v_1 - v_2) + v_2 \quad (9)$$

که در آن  $r_{1,2}$  ثابتی هستند که برای تعیین میزان کشیدگی سلول‌های کروماتوفر و میزان پدیداری طرح نهایی هستند. جواب جدید از رابطه (10) بدست می‌آید.

$$\text{newp}[j] = R \times BestP[j] + V \times (BestP[j] - AV_{\text{Best}}) \quad (10)$$

در گروه 2 موارد 3 و 4 شبیه‌سازی می‌شوند. در این گروه رابطه پدیداری مشابه حالت قبل است ولی رابطه بازتابش به صورت (11) است:

$$R \times BestP[j] = R \times BestP[j] \quad (11)$$

در گروه سوم مورد 5 شبیه‌سازی می‌شود. معادلات مربوط به بازتابش و پدیداری به شکل زیر تبدیل می‌شوند:

$$R \times BestP[j] = R \times BestP[j] \quad (12)$$

$$V \times (BestP[j] - AV_{\text{Best}}) = V \times (BestP[j] - AV_{\text{Best}}) \quad (13)$$

که در آن  $AV_{\text{Best}}$  میانگین مقادیر بهترین نقطه است. در گروه چهارم، مورد شش، شبیه‌سازی می‌شود. بنابراین پس از تولید جواب تصادفی با بهترین جواب مقایسه شده، و در صورت بهتر بودن با آن جایگزین می‌شود.

### 2-3- تعیین پارامترهای استاتیکی اصطکاک

پارامترهای استاتیک ویژگی‌های حالت ماندگار را، هنگامی که سیستم در سرعت بالا حرکت می‌کند توصیف می‌کنند. برای سیستم پایدار حلقباز، خروجی باید پس از مدتی به حالت ماندگار رسیده و هنگامیکه سیستم در حالت ماندگار قرار گرفت، نرخ تغییر شکل دنده‌ها ( $\dot{x}$ ، در مدل اصطکاکی لاغر و شتاب نیرو صفر می‌شوند).

از (3)، حالت داخلی به وسیله رابطه زیر ارائه می‌شود.

$$z = g(\omega) \text{sign}(\omega) \quad (14)$$

از آنجا که شتاب سیستم صفر است،  $0 = \ddot{x}$ . با جایگزینی معادلات (3)، (4) و (14) در (2) و صرفنظر کردن از اغتشاش سیستم، می‌توان گشتاور ورودی حالت ماندگار و گشتاور اصطکاک را به شکل زیر نشان داد:

$$T \approx T_f = [Fc + (Fs - Fc)e^{-(\omega/\omega_s)^2}] \text{sign}(\omega) + \sigma_2 \omega \quad (15)$$

سپس، پارامترهای اصطکاکی  $F_c$  و  $F_s$  را به وسیله الگوریتم CFA می‌توان بدست آورد که در آن داده‌ها شامل گشتاور ورودی و سرعت خروجی با رابطه (15) نشان داده می‌شوند. به منظور تعیین پارامترهای استاتیکی با استفاده از الگوریتم ماهی دهپا، ابتدا بردار پارامترهای استاتیک 7 باید برای هر دسته مشخص شود. مقادیر مشخص شده برای پارامترهای استاتیکی عبارتند از:

$$\hat{\boldsymbol{\theta}}_m = [\hat{F}_c \quad \hat{F}_s \quad \hat{\sigma}_2 \quad \hat{\omega}_s] \quad (16)$$

که در آن  $m = 1, 2, \dots, M$  و  $M$  اندازه جمعیت است.  $\hat{\boldsymbol{\theta}}_m$  دسته تخمین

ماهی دهپا گونه‌ای از سرپایان است که به توانایی تغییر رنگ و همانند شدن با محیط، معروف است. رنگ‌ها و طرح‌ها در این گونه ماهی توسط لایه‌های مختلف پوست، صورت می‌گیرد. این لایه‌ها به سه دسته تقسیم‌بندی می‌شوند:

کروماتوفرهای گروهی از سلول‌ها بوده که دارای لایه‌ای انساطی همراه با رنگدانه هستند و دقیقاً زیرپوست قرار گرفته‌اند؛ 15-25 ماهیچه به این گروه از سلول‌ها متصل است که با کشیدن این گروه از سلول‌ها، سطح آن‌ها را بیشتر می‌کنند.

ایریدوفر: این گروه از سلول‌ها در لایه بعدی یافت می‌شوند. این گروه شامل پلاکت‌های رنگی بوده و مسئول تولید رنگ‌های سبز، آبی، زرد و نقره‌ای هستند. روش اصلی کار آنها بر مبنای بازتاب نور است.

لئوسوفورس: این گونه از سلول‌ها مسئول تولید رنگ سفید هستند. وظیفه اصلی آنها بازتابش نور است و دربرابر هر رنگ به همان شکل در می‌آیند. الگوریتم دهپا عمل این سه لایه را نقلیه می‌کند. شش عمل اصلی در این فرایند را می‌توان در شکل 1 نشان داد.

از مشاهده شکل 1 می‌توان به دو عمل اصلی پی‌برد، بازتابش و پدیداری. بازتابش مکانیزم عمل کننده توسط ماهی دهپا در بازتاب نور ورودی را به نمایش می‌گذارد و شامل هر شش بخش است. پدیداری میزان تطبیق ماهی دهپا با محیط اطراف را به نمایش می‌گذارد. در واقع پدیداری میزان تفاوت بین بهترین جواب و جواب فعلی است. مکانیزم ماهی دهپا بر اساس این دو ویژگی عمل می‌کند و از آنها برای یافتن جواب جدید بهره می‌گیرد. همانند سایر روش‌های فرالبتکاری، الگوریتم ماهی دهپا از جواب تصادفی برای آغاز جمعیت استفاده می‌کند. سپس شش مورد نشان داده در شکل 1 به این جمعیت اعمال می‌شود تا شرایط توقف عملیات برآورده شود.

کل این عملیات را می‌توان به شکل زیر بیان کرد:

ابتدا به صورت تصادفی جمعیتی با تعداد مشخص تولید می‌شود:

$$C(i,j) = \text{rand} \times (\text{حد پایین} + (\text{حد بالا} - \text{حد پایین}) \times i, j = 1, \dots, N; d = 1, \dots, d) \quad (5)$$

که در آن "rand" عددی تصادفی در بازه  $(0,1)$  است.  $N$  تعداد جمعیت و  $d$  بعد جمعیت است. سپس بهترین جواب در ذخیره می‌شود و میانگین خانه‌های آن در  $AV_{\text{best}}$  نگهداری می‌شود. سپس جمعیت به چهار بخش

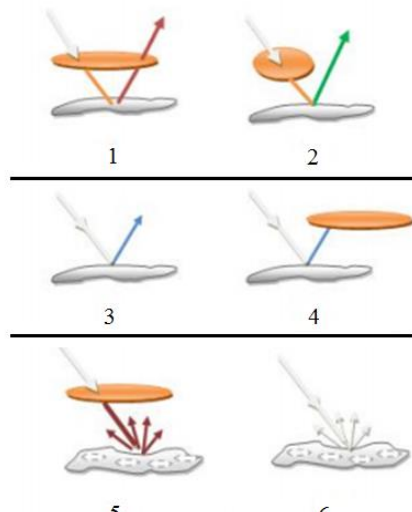


Fig. 1 The six cases in skin color change mechanism [14]

شکل 1 شش عمل اصلی در فرایند تغییر رنگ ماهی دهپا [14]

جدول ۱ روند الگوریتم ماهی ده‌پا

Table 1 General principle of CFA

مرحله	پروسه الگوریتم
1	شروع
2	مقادیر $r_1, r_2, v_1, v_2$ دریافت شود.
3	به تعداد $N$ به شکل تصادفی جمعیتی با ابعاد $d$ تولید شود.
4	گشتاور اصطکاک برای هر عضو جمعیت حساب شود.
5	از رابطه (18) تابع سازگاری برای هر عضو تعیین شود.
6	بهترین جواب در Best ذخیره شود.
7	میانگین اعضای بهترین جواب در AV <sub>Best</sub> ذخیره شود.
8	جمعیت به چهار دسته تقسیم شود.
9	تا زمان وقوع شرط توقف به صورت زیر عمل شود:
10	میانگین اعضای بهترین جواب در AV <sub>Best</sub> ذخیره شود.
11	برای گروه اول به شکل زیر عمل شود:
12	$R = r_2 + \text{rand} \times (r_1 - r_2)$
13	$= R \times G1(i, j)$ بازتابش
14	$\text{Best}(j) = \text{Best}(j) - G1(i, j)$ پدیداری
15	$\text{temp}(j) = \text{temp}(j) + \text{پدیداری}$ بازتابش + پدیداری
16	کران بالا و پایین بر روی $\text{temp}(j)$ اعمال گردد.
17	تابع سازگاری برای $\text{temp}(j)$ تعیین شود.
18	اگر تابع سازگاری $\text{temp}(j)$ از تابع سازگاری Best کمتر بود آنگاه با Best جایگزین شود.
19	اگر تابع سازگاری $\text{temp}(j)$ از تابع سازگاری عضو قبلی کمتر بود آنگاه با عضو قبلی جایگزین شود.
20	پایان حلقه گروه اول
21	برای تمامی اعضای گروه دوم به شکل زیر عمل شود:
22	$V = r_2 + \text{rand} \times (v_1 - v_2)$ موارد 15 تا 19 انجام شود.
23	بازتابش
24	$= V \times (\text{Best}(j) - G2(i, j))$ پدیداری
25	موارد 15 تا 19 انجام شود.
26	پایان حلقه گروه دوم
27	برای تمامی اعضای گروه سوم به شکل زیر انجام شود:
28	$V = r_2 + \text{rand} \times (v_1 - v_2)$ موارد 15 تا 19 انجام شود.
29	بازتابش
30	$= V \times (\text{Best}(j) - \text{AV}_{\text{Best}})$ پدیداری
31	موارد 15 تا 19 انجام شود.
32	پایان حلقه گروه سوم
33	برای تمامی اعضای گروه سوم به شکل زیر انجام شود:
34	$\text{rand} \times ((j) \text{حد پایین} - (j) \text{حد بالا})$ بازتابش
35	پدیداری = 0.
36	موارد 15 تا 19 انجام شود.
37	پایان حلقه گروه چهارم
38	پایان حلقه شرط.

زده شده مقادیر با  $m$  این آزمایش است. مقادیر تعیین شده نیروی اصطکاک به صورت زیر خواهد بود:

$$\hat{T}_{f-m}^i = [\hat{F}_c + (\hat{F}_s - \hat{F}_c)e^{-(\omega_i/\hat{\omega}_s)^2}] \text{sign}(\omega_i) + \hat{\theta}_2 \omega_i \quad (17)$$

که در آن  $i = 1, 2, \dots, N$  تعداد سیگنال‌های سرعت انتخابی است و به مقدار تخمین زده شده گشتاور مربوط به  $i$  این سیگنال سرعت از  $m$  دسته دلالت دارد. تابع سازگاری پارامترهای استاتیک برابر خواهد بود با:

$$J_m = \frac{1}{2} \sum_{i=1}^N (e_{s,m}^i)^2, \quad m = 1, 2, \dots, M \quad (18)$$

که در آن  $e_{s,m}^i = T_s^i - \hat{T}_{f-m}^i$  خطای شناسایی استاتیک برای  $i$  این سرعت از  $m$  دسته است.  $T_s^i$  گشتاور بدست آمده از  $i$  این آزمایش است. برای به دست آوردن پارامترهای استاتیک بینهای باشد تابع هدف  $J_m$  را مطابق پروسه ذکر شده به وسیله الگوریتم ماهی ده‌پا کمینه کنیم.

#### 2- تعیین پارامترهای دینامیکی

پارامترهای دینامیکی مدل لاغر تأثیرات اصطکاک را بر روی سیستم در سرعت پایین نشان می‌دهند. هنگامی که سرعت پایین است، تغییر شکل دندانه‌ها تقریباً برابر با صفر است. به عبارت دیگر  $\dot{z} \approx 0$  (بنابراین  $\ddot{z} \approx 0$ ) داریم

$$\omega \approx \theta \quad (19)$$

به منظور یافتن پارامترهای دینامیکی، بردار پارامترها را به شکل زیر معرفی می‌کنیم:

$$\hat{u}_m = [\hat{\theta}_0, \hat{\theta}_1]^T \quad (20)$$

در حالت دینامیکی، سرعت، ثابت نیست و از مقدار صفر به تدریج زیاد می‌شود. بنابراین پارامتر معلوم را گشتاور، و پارامتر مشاهده شده را، زاویه موتور در نظر می‌گیریم. بنابراین رابطه خطای برابر است با:

$$e_{d,m}^{(t_i)} = \theta_d^{(t_i)} - \hat{\theta}_{d,m}^{i(t_i)} \quad (21)$$

که در آن  $\theta_d^{(t_i)}$  خروجی واقعی سیستم در لحظه  $t_i$  بوده و  $\hat{\theta}_{d,m}^{i(t_i)}$  خروجی سیستم با استفاده از  $\hat{u}_m$  است و از طریق رابطه (1) به دست می‌آید. با استفاده از رابطه (21) تابع سازگاری مشابه با حالت استاتیک در رابطه (18) است.

پروسه الگوریتم ماهی ده‌پا را می‌توان مطابق جدول 1 نشان داد.

#### 2- بهینه‌سازی ازدحام کرم شب‌تاب

بهینه‌سازی ازدحام کرم شب‌تاب روشی هوشمند بر اساس انتشار لوسیفیرین توسط کرم‌های شب‌تاب است. این لوسیفیرین باعث جذب شدن کرم‌های شب‌تاب دیگر شده و باعث ایجاد حرکت آنها به سوی یکدیگر می‌شود. میزان لوسیفیرین به سازگاری مکان هر کرم شب‌تاب بستگی دارد که با استفاده از تابع سازگاری هدف آن مشخص می‌شود. در [18] روند این الگوریتم به شکل کامل توضیح داده شده است.

#### 3- کنترل ربات

3-1- کنترل کننده ترانهاده ژاکوبین بهبود یافته به همراه جبران ساز با اعمال معادله لاغرانژ به سیستم ربات، مدل دینامیکی آن را می‌توان به شکل (22) نوشت:

$$H(\theta)\ddot{\theta} + C(\theta, \dot{\theta}) + G(\theta) + T_F = \tau \quad (22)$$

$$\hat{t} = K_d \dot{e} + K_p e + k \hat{t}|_{t-\Delta t} \quad (28)$$

در صورت جبران اصطکاک با انتخاب مناسب آستانه حساسیت و گام زمانی کوچک، رابطه (26) منجر به معادله خطای زیر می‌شود:

$$K_d \dot{e} + K_p e \cong 0 \quad (29)$$

نمای کنترل کننده MTJ با جبران ساز مدل- مبنا برای بازوی رباتیک در شکل 2 ارائه شده است.

### 2-3- کنترل کننده مدل مبنا

در اینجا، کنترل مدل مبنا در فضای کاری را به شکل مختصر یادآوری می‌کنیم:

مدل لاغرانژ یک بازوی رباتیکی صفحه‌ای را در فضای کارتزین می‌توان به شکل (30) نوشت:

$$\bar{H}(\theta) \ddot{q} + \bar{C}(\theta, \dot{\theta}) + J^{-T} T_F = J^{-T} \tau \quad (30)$$

که  $\bar{H}$  و  $\bar{C}$  ماتریس‌های معادل جرم و جملات غیرخطی در فضای کارتزین هستند [20].

اگر  $T_F = 0$  باشد، در صورتی که مدل ربات معلوم فرض شود، کنترل کننده (31) دستگاه معادلات دیفرانسیل مرتبه دوم (30) را به شکل (32) خطی سازی می‌کند.

$$\tau = J^T \{ \bar{H}(\theta) (\ddot{q}_d + k_d \dot{e} + k_p e) + \bar{C}(\theta, \dot{\theta}) \} \quad (31)$$

$$\ddot{e} + k_d \dot{e} + k_p e = 0 \quad (32)$$

بنابر رابطه بالا خطای در فضای کاری به صفر میل پیدا می‌کند. این امر به شرطی تحقق می‌باید که اصطکاک جبران شود.

### 3-3- شبکه عصبی تطبیقی تابع پایه شعاعی

از جمله پیشرفته‌ترین روش‌های کنترل دقیق حرکت بازوی رباتیک، کنترل کننده‌های ترکیبی با استفاده از تابع شبکه عصبی شعاعی است [19]. از مزایای این نوع از کنترل کننده‌ها، کنترل دقیق ربات با وجود اصطکاک نامعلوم است. شبکه عصبی تطبیقی تابع پایه شعاعی عمدتاً برای تخمین تابع نامعلوم اصطکاک و دیگر اختشاشات واردہ بر سیستم به کار می‌رود.

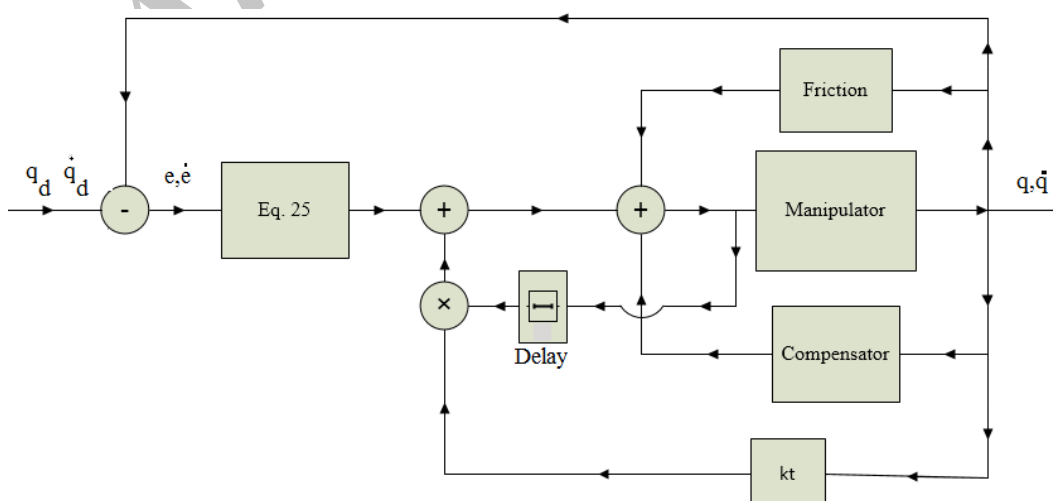


Fig. 2 MTJ block diagram with friction compensator

که در آن  $H$  ماتریس مثبت معین است و جملات مربوط به نیروهای غیرخطی سرعت در  $C$  و گرانش در  $G$  قرار دارند.  $\tau$  گشتاور اعمالی به مقاصل ربات است و  $T_F$  گشتاور اصطکاک در مقاصل است.

سرعت‌های فضای کاری را با  $\dot{q}$  نشان می‌دهیم و از طریق ماتریس ژاکوبین به سرعت‌های مقاصل مربوط می‌شوند:

$$\dot{q} = J(\theta) \dot{\theta} \quad (23)$$

با تعریف خطای در فضای کاری به صورت معادله (24)

$$e = q_d - q \quad (24)$$

رابطه ژاکوبین تعمیم‌یافته (TJ) به شکل (25) خواهد بود:

$$\tau = J^T (K_d \dot{e} + K_p e) \quad (25)$$

در صورتی که ضرایب به اندازه کافی بزرگ باشند، کنترل (25) تخمینی از کنترلر مدل مبنا بوده و در صورتی که اصطکاک جبران شود می‌تواند با دقیق مناسب خطای را به سمت صفر میل دهد. همانگونه که مشاهده می‌شود، کنترل کننده فوق علاوه بر ساده بودن، وابستگی کمتری به مدل سینماتیکی و دینامیکی سیستم دارد. از مزایای دیگر آن این است که در صورت وقوع تکینگی، کنترل کننده شکست نمی‌خورد. با اینحال به دلیل استفاده از ضرایب بهره بالاتر، به نویز بیرونی وابسته‌تر است. همچنین مدل نشدن دینامیک سیستم در آن می‌تواند دقت را در مسائل رهگیری سریع کاهش دهد. با استفاده از قانون ترانهاده ژاکوبین بهبود یافته (MTJ)، می‌توان دقت سیستم را افزایش داد و ضرایب، بهره کمتری را به کار برد. بدین منظور حاصل ضرب نیروی تعمیم‌یافته در فضای زمانی یک گام پیش و یک فاکتور سویچینگ به منظور جلوگیری از گشتاورهای بالا به رابطه TJ افزوده می‌شود. در نتیجه قانون کنترلی ترانهاده ژاکوبین مؤثر بهبود داده شده (MTJ) به صورت (26) بدست می‌آید:

$$\tau = J^T (K_d \dot{e} + K_p e + k \hat{t}|_{t-\Delta t}) \quad (26)$$

برای ایجاد یک سویچینگ نرم، عناصر ماتریس قطری  $[k_{ii}] = [k_{ii}]$  به صورت عبارتی پیوسته مورد استفاده قرار می‌گیرد:

$$k_{ii} = \exp \left( - \left( \frac{|e_i|}{e_{\max_i}} + \frac{|\dot{e}_i|}{\dot{e}_{\max_i}} \right) \right) \quad (27)$$

فاکتور سویچینگ  $k$  در ابتدا در اولین گام زمانی برابر با صفر قرار داده می‌شود. همانطور که در [15] نشان داده شده است برای گشتاور در فضای

شکل 2 دیاگرام بلوکی روش کنترل MTJ با جبران ساز اصطکاک

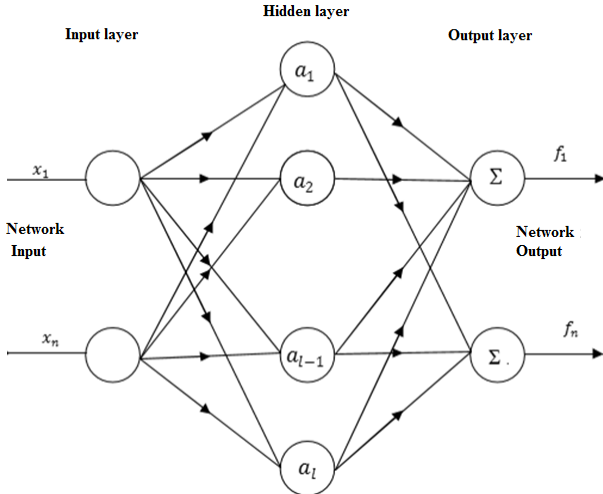


Fig. 3 Schematic diagram of RBF neural network

شکل 3 دیاگرام شبکه عصبی تابع پایه شعاعی

$$\hat{r} = J^T r \quad (38)$$

که در آن  $A$  ضریبی مثبت است، رابطه (38) برای تخمین تابع غیرخطی مورد استفاده قرار می‌گیرد. الگوریتم شبکه عصبی تطبیقی با استفاده از این خطای معادل، ضرایب خود را تا جایی که خطای به صفر میل نماید، تطبیق می‌دهد [23]. بنابراین با استفاده از قانون تطبیق (39)

$$\hat{W} = \xi \eta_i \hat{r} \quad (39)$$

که در آن  $\xi > 0$ ، آنگاه در  $t \rightarrow \infty$  رابطه (33) برای تابع غیرخطی اصطکاک برآورده شده و با جبران آن خطای به سمت صفر میل می‌نماید.

#### 4- پیاده‌سازی تجربی

برای بررسی صحت عملکرد الگوریتم در یافتن رابطه اصطکاک و توانایی کنترل کننده برای کنترل مجری نهایی در تعییب مسیر، رباتی دولینکی و صفحه‌ای مطابق شکل 4 برای آزمایش در نظر گرفته شده است. با استفاده از سه روش کنترل مدل‌بنا، ترانهاده ژاکوبین و ترانهاده ژاکوبین بهبودیافته و روش‌های جبران‌ساز مدل‌بنا و شبکه عصبی به کنترل ربات پرداخته می‌شود. هدف مقایسه توانایی کنترل کننده‌ها و دانستن نقاط قوت و ضعف هریک در دستیابی به مسئله تعییب مسیر توسط مجری نهایی و جبران اصطکاک در مفاصل ربات است.

#### 4-1- مشخصات سیستم

ربات مورد نظر دولینکی صفحه‌ای بوده و با استفاده از میکروکنترلر آردوبینو امگا کنترل می‌شود. مشخصات مربوط به لینک‌ها با در نظر گرفتن تاثیرات شده است. مشخصات فیزیکی مربوط به لینک‌ها با در نظر گرفتن تاثیرات محرک‌ها و با صرفنظر کردن از چرخش بدنه محرک در نظر گرفته شده است. اصطکاک مفاصل را معادل اصطکاک درون محرک‌ها در نظر می‌گیریم. زوایای مربوط به هر مفصل با استفاده از انکودر متصل به موتور خوانده می‌شود.

در ابتدا مدل اصطکاک محرک‌های ربات را با استفاده از الگوریتم ماهی دهپا بدست می‌آوریم. این محرک‌ها شامل دو عدد موتور فالهابر (Faulhaber 2343L12CR) است. با استفاده از گشتاور‌سنج مقدار گشتاورهای استاتیک به دست می‌آوریم. همچنین در حالت اندازه‌گیر زاویه مربوط به مبدل

گشتاور اصطکاک در  $T_F$  تابعی غیرخطی از  $(\theta, \dot{\theta})$  است. روش‌های جبران سازی بدون مدل بدون نیاز به فرایند نمونه‌برداری و شناسایی اصطکاک، تخمینی تقریبی از اصطکاک سیستم را انجام می‌دهند. یکی از روش‌های تخمین اصطکاک، استفاده از شبکه عصبی تطبیقی تابع پایه شعاعی است.

همانطور که ذکر شد، در حوزه مهندسی، شبکه عصبی معمولاً برای تخمین یک تابع نامعین  $f(x)$  با خطای بسیار کم به کار می‌رود. مسئله تخمین تابع را می‌توان به شکل زیر بیان کرد:

تعریف: فرض می‌کنیم  $f: R^n \rightarrow R^m$  تابعی پیوسته و تعریف شده بر  $\hat{f}: R^{l \times m} \times R^n \rightarrow R^m$  تابع تخمین است که به شکل پیوسته به پارامترهای ماتریس  $W$  و  $x$  بستگی دارد، آنگاه مسئله تخمین برای  $f$  است با تعیین پارامتر بهینه  $W^*$  به گونه‌ای که برای تابع فاصله  $d$  و مقادیر کوچک قابل قبول  $\epsilon$  داشته باشیم:

$$d(\hat{f}(W^*, x), f(x)) \leq \epsilon \quad (33)$$

می‌توان نشان داد برای هر تابعی با شرایط ذکر شده، یک شبکه عصبی توابع پایه شعاعی به شکل (34) وجود دارد. در این مقاله، شبکه عصبی توابع شعاعی گاوسی به کار گرفته می‌شود. در این نوع شبکه عصبی، تعداد  $(l)$  عدد تابع گاوسی به شکل (34) وجود دارد.

$$\eta_i(x) = \exp\left(-\frac{(x - \mu_i)^T(x - \mu_i)}{\sigma^2}\right) \quad (34)$$

که در آن  $\mu_i \in R^n$  مرکز تابع و  $\sigma \in R$  واریانس است. همانطور که در شکل 3 نشان داده شده است، هر شبکه تابع پایه شعاعی شامل سه لایه است: لایه ورودی، لایه پنهان که شامل تابع گاوسی است و لایه خارجی. در لایه ورودی، فضای ورودی به شبکه‌هایی با تابع پایه‌ای در هر گره تقسیم می‌شود و یک زمینه دریافت در فضای  $R^n$  ایجاد می‌کند. خروجی شبکه  $\hat{f}(W, x)$  با رابطه (35) داده می‌شود که در آن  $\eta(x) = [\eta_1(x) \ \eta_2(x) \ \dots \ \eta_l(x)]^T$  بودار توابع پایه‌ای است.

$$\hat{f}(W, x) = W^T \eta(x) \quad (35)$$

شبکه‌های تابع پایه شعاعی گاوسی در بیان تابع پیچیده غیرخطی بسیار موفق بوده‌اند. می‌توان نشان داد که هر تابع پیوسته که لزوماً هموار نیست با استفاده از این گونه تابع قابل تخمین، با دقت قابل قبول است [22, 21].

#### 4-3- شبکه تابع پایه شعاعی گشتاورهای غیرخطی اصطکاک و اغتشاش

مجموع گشتاورهای اصطکاک و نیروهای اغتشاشی نامعلوم را با  $T_F$  نشان می‌دهیم. از آنجا که این گشتاور تابع غیرخطی از  $(\theta, \dot{\theta})$  است. فرض می‌کنیم:

$$\hat{T}_F^i = W_i^T \eta_i(\theta, \dot{\theta}) + \epsilon_i \quad (36)$$

که در آن  $W_i \in R^l$  وزن شبکه عصبی،  $\eta_i \in R^l$  تابع گاوسی دینامیک مربوطه هستند و  $\epsilon_i$  خطاهای تخمین  $\hat{T}_F^i$  هستند. اندیس  $i$  مربوط به  $i$  این مفصل ربات است. در اینجا باید قانون تطبیقی را استفاده کنیم که همگرایی ماتریس وزن شبکه عصبی برای تحقق رابطه (33) را تضمین کند.

رابطه خطای معادل به صورت (37) است:

$$r = \dot{e} + \Lambda e \quad (37)$$

از آنجا که اصطکاک در مفاصل تابعی از زاویه و سرعت زاویه‌ای است، باید خطای در فضای کاری را توسط رابطه (38) به فضای مفصلی انتقال دهیم

استفاده قرار می‌گیرد. به همین منظور مقادیر پارامترهای این الگوریتم توضیح داده شده در [18] را برابر با جدول 5 در نظر می‌گیریم:

مقادیر به دست آمده برای پارامترهای استاتیک و دینامیک در جداول 6 و 7 ارائه شده است. نمودار اشتربیک در شکل 5 نشان داده است. نتایج به دست آمده توسط هر دو الگوریتم بهینه‌یابی به یکدیگر بسیار نزدیک است. با این تفاوت که سرعت الگوریتم ماهی ده پا بسیار سریعتر است.

همچنین برای مدل‌سازیتابع اصطکاک با استفاده از شبکه عصبی تطبیقی، با توجه به توان پردازنده، تعداد اعضای تابع پایه‌ای گاووسی را برابر با 128 در نظر می‌گیریم. در صورتی که این تعداد بیشتر شود، دقت مدل‌سازی افزایش می‌یابد، با این وجود زمان پردازش نیز بیشتر می‌گردد. مقدار  $\sigma$  که همان واریانس تابع در رابطه (34) است را برای تمامی توابع برابر با 2 در نظر می‌گیریم. مقادیر  $\mu$ ، اعدادی تصادفی در بازه (1,1)–(0,1) است. مقدار  $\zeta$  در رابطه (39) را برابر با 0.01 در نظر می‌گیریم. همچنین مقدار  $A$  در رابطه (37) برابر با 0.015 در نظر گرفته شده است. ضرایب کنترل ترانهاده ژاکوبین دو برابر ضرایب ترانهاده ژاکوبین بهبودیافته در نظر گرفته می‌شود. مسیری بیضی شکل در نظر گرفته شده و تعقیب آن در نظر گرفته می‌شود. شکل 6 توانایی هر کنترل کننده را هر تعقیب مسیر نشان می‌دهد.

جدول 5 پارامترهای الگوریتم ازدحام کرم شب‌تاب

Table 5 The parameter settings for GSO algorithm

iter	$m$	$r_s$	$\rho$	$s$	$n_t$	$\beta$	$\gamma$	$l_0$
1000000	50	0.5	0.4	0.3	4	0.05	0.5	3
1000000	50	1	0.4	0.3	4	0.05	0.5	3

جدول 6 پارامترهای استاتیک بدست آمده از بهینه‌سازی

Table 6 The identification result of static parameters

$\hat{F}_C$	$\hat{F}_S$	$\hat{\sigma}_2$	$\hat{\omega}_S$	پارامتر
0.073	0.08	0.005	0.22	CFA
0.072	0.08	0.006	0.22	GSO

جدول 7 پارامترهای دینامیک بدست آمده از بهینه‌سازی

Table 7 The identification result of dynamic parameters

$\hat{\sigma}_0$	$\hat{\sigma}_1$	پارامتر
3.13	0.651	CFA
3.11	0.652	GSO

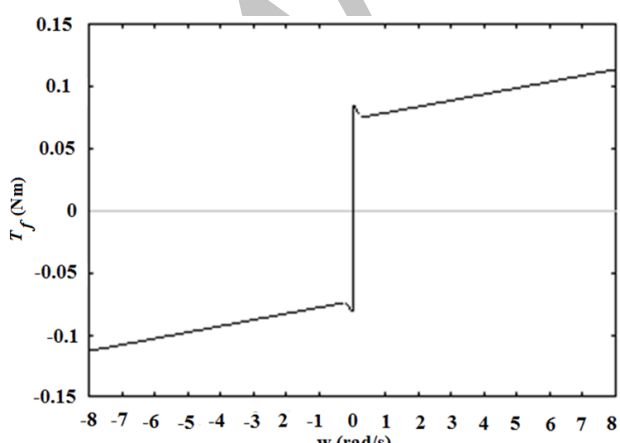


Fig. 5 Identified Stribeck curve for static parameters

شکل 5 گشتاور اصطکاک بر حسب سرعت زاویه‌ای



Fig.4 Experimental planar robot

شکل 4 ربات دولینکی صفحه‌ای استفاده شده در آزمایش

جدول 2 مشخصات فیزیکی ربات صفحه‌ای

Table 2 planar manipulator physical properties

ویژگی	مقدار
طول هر لینک	150 (mm)
جرم لینک‌های اول و دوم ( $m_{1,2}$ )	403, 220 (gr)
ممان اینرسی لینک‌های اول و دوم ( $I_{1,2}$ )	4.1, 1.2 (kg cm <sup>2</sup> )
مرکز جرم لینک‌های اول و دوم ( $d_{1,2}$ )	110, 80 (mm)
ضریب گشتاور موتورها ( $k_m$ )	0.0134 (Nm/A)
ضریب مقاومت خودالایی موتورها ( $k_b$ )	0.014 (Vs/rad)
مقاومت موتورها ( $R$ )	6(Ω)
نسبت گیریکس ( $r$ )	64

گشتاورسنجه، مقدار زاویه را برای گشتاور ثابت به منظور به دست آوردن پارامترهای دینامیک به دست می‌آوریم.

مقدادر به دست آمده در جداول 3 و 4 ارائه شده است.

مقدادر ثابت‌های [ $r_1, r_2, v_1, v_2$ ] برای درونیابی استاتیک به ترتیب برابر با [1, −0.5, 2, −2] در نظر می‌گیریم. مقدادر کران بالا برای چهار پارامتر استاتیک (16) برابر با 1 و کران پایین را برابر با 0.04, 0.05, 0.02, 0.1] در نظر می‌گیریم. تعداد جمعیت تصادفی اولیه به چهار گروه دهتایی تقسیم‌بندی می‌شود و مطابق روند ذکر شده در جدول 1، درونیابی صورت می‌گیرد. شرط توقف 50000 دور و یا تابع سازگاری کمتر از 0.000001 در نظر گرفته شده است که برای حالت استاتیک و دینامیک به ترتیب پس از 980 و 383 تکرار با تابع سازگاری 3.02 e-7 و 8.06 e-7 مقدادر بهینه به دست آمده است. به منظور بررسی کارایی این روش درونیابی، الگوریتم ازدحام کرم شب‌تاب نیز مورد

جدول 3 گشتاورهای اصطکاک استاتیک بدست آمده از نمونه‌برداری

Table 3 Static torque sampling

$ T_F $	$ \omega  \text{ rad/s}$	$ T_F $	$ \omega  \text{ rad/s}$
0.0755	0.5	0.0955	4.5
0.0805	1.5	0.1005	5.5
0.0855	2.5	0.1055	6.5
0.0905	3.5	0.1105	7.5

جدول 4 زوایای به دست آمده با استفاده از گشتاور ثابت در حالت دینامیک

Table 4 Angle sampling using constant torques

$t(\text{ms})$	1	2	3	4	5	6	7
$\theta(\text{mrad})$	2.7	5.7	8	11	14.2	17.5	21

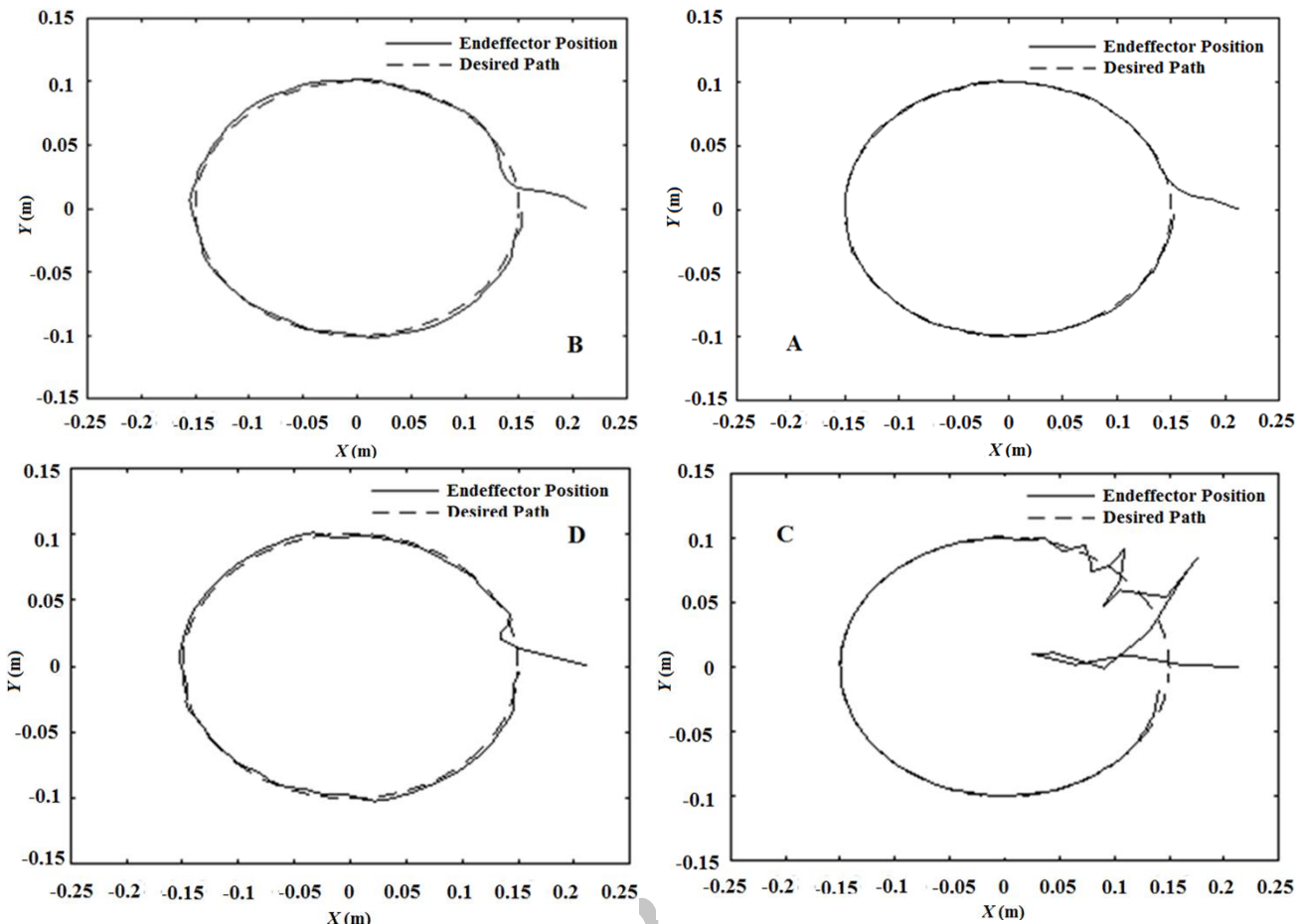


Fig.6 Trajectory tracking (A): TJ+MB compensator, (B): TJ+MB compensator, (C): TJ +ANN, (D): MBA+ MB compensator

(D): MBA + TJ; (C): ANN + TJ; (B): TJ + MTJ + MBA مدل مبنای جبران‌ساز

ضرایب بالا می‌توان به رهگیری مسیر با دقتی قابل قبول دست یافت. با این وجود ضرایب بهره بالا باعث حساسیت سیستم به نویز می‌شود. بنابراین در میان تمامی روش‌های کنترلی آزمایش شده، کنترل کننده ترانهاده ژاکوبین بهبود یافته با استفاده از جبران‌ساز مدل مبنای در شکل 8 نشان داده شده است. لازم به می‌دهد. گشتاور تولیدی موتورها در شکل 8 نشان داده شده است. لازم به ذکر است بدون استفاده از جبران‌ساز اصطکاک، سیستم قادر به تعییب مسیر ذکر شده نیست.

## 5- نتیجه‌گیری

الگوریتم بهینه‌سازی ماهی ده‌پا از سرعت و دقت بالایی در میانیابی مسائل چند پارامتر مجھول، همانند یافتن ضرایب مدل اصطکاکی لاغر نسبت به الگوریتم‌های مشابه برخوردار است. ترکیب جبران‌ساز مدل مبنای با استفاده از مدل اصطکاک لاغر و کنترل کننده ترانهاده ژاکوبین بهبود یافته برای کنترل بازوی رباتیکی در فضای کاری مورد استفاده قرار گرفت. سپس برای مقایسه کارایی این روش، کنترل کننده‌های مدل مبنای و ترانهاده ژاکوبین و جبران‌ساز اصطکاک با استفاده از شبکه عصبی توابع شعاعی گاووسی نیز بر روی ربات دولینکی انجام شد. نتایج تجربی نشان داد کنترل کننده ترانهاده ژاکوبین بهبود یافته، به خوبی قادر به کنترل حرکت مجری نهایی ربات در فضای کاری است. کنترل کننده ترانهاده ژاکوبین با وجود ضرایب مشتق و تنااسبی بالاتر، عملکرد پایین‌تری نسبت به نوع بهبود یافته نشان می‌دهد. همچنین شبکه عصبی تطبیقی گاووسی زمانی قابل توجه برای تطبیق صرف می‌کند. به

## 4- کنترل مسیر

با استفاده از مقادیر بدست آمده از الگوریتم ماهی ده‌پا، برای حذف اثرات اصطکاک از جبران‌ساز فیدبک غیرخطی با مدل لاغر استفاده شده است. همانطور که گفته شد، مسیر مورد نظر، یک بیضی در فضای کارتئن است که به صورت زیر تعریف می‌شود:

$$X(t) = 0.15\cos(0.6t) \quad (40)$$

$$Y(t) = 0.1\sin(0.6t) \quad (41)$$

مسیر طی شده توسط مجری نهایی ربات در شکل 6 نشان داده شده است. خطای تعییب نیز در شکل 7 به نمایش آمده است. همانطور که در شکل 6 مشاهده می‌شود، کنترل کننده ترانهاده ژاکوبین بهبود یافته به همراه جبران‌ساز به خوبی مجری نهایی را در مسیر از پیش تعیین شده، هدایت می‌نماید. با ترکیب جبران‌ساز شبکه عصبی و کنترل کننده مدل مبنای، خطای تعییب وجود دارد که این امر به دلیل حساسیت کنترل کننده مدل مبنای به عدم دقت مدل اصطکاک و مدل دینامیکی سیستم است.

با ترکیب کنترل کننده ترانهاده ژاکوبین و جبران‌ساز شبکه عصبی، زمان قابل توجهی برای تخمین تابع نامعلوم اصطکاک صرف می‌شود که این امر باعث می‌شود زمان نشست زیاد شود. با افزایش مقدار  $\zeta$  در رابطه (39)، سیستم، و اگر می‌شود. همچنین سیستم از ثانیه 8، زمانی را برای جبران اثرات گرانش که به دلیل عدم تراز بودن سطح، ایجاد می‌شود صرف می‌کند. اگر در این کنترل کننده از جبران‌ساز مدل مبنای استفاده شود، با استفاده از

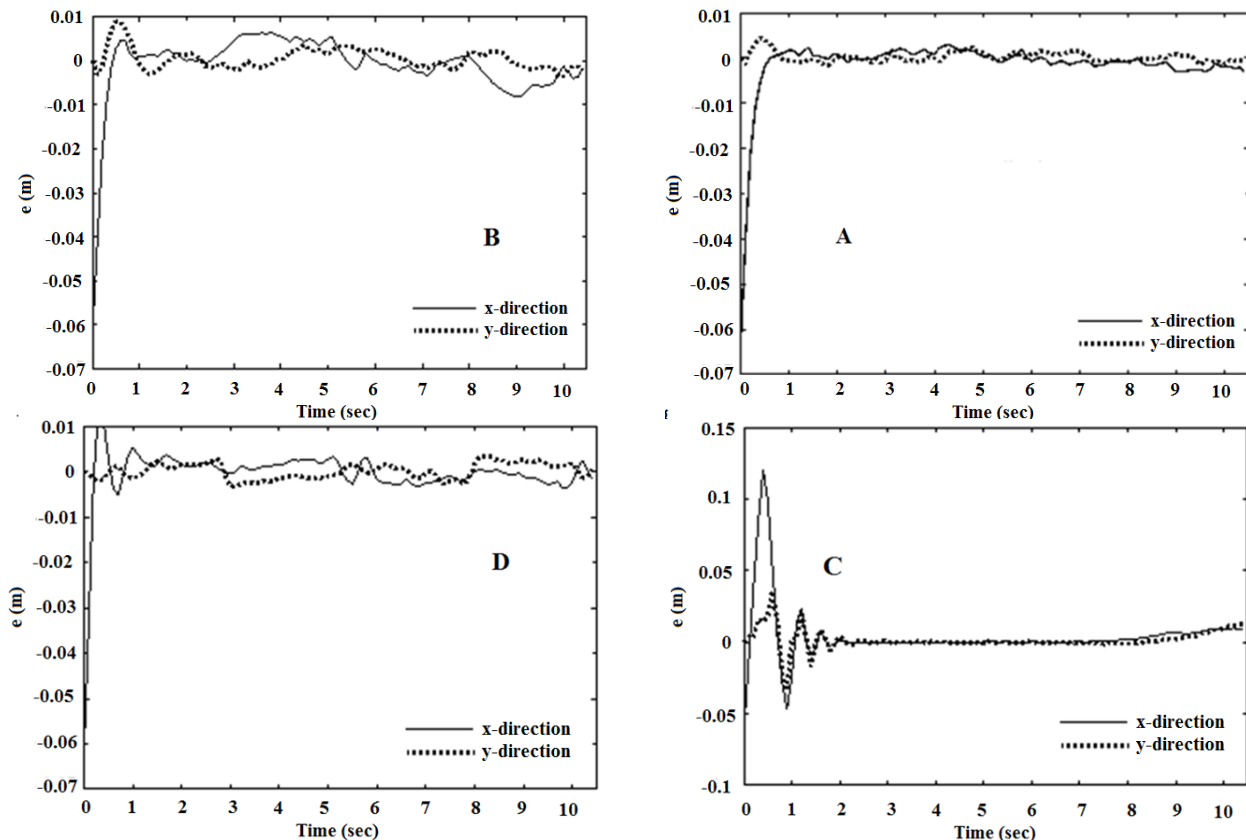


Fig.7 Tracking error in task space, (A): MTJ+ compensator, (B): TJ+MB-compensator, (C): TJ+ANN, (D): MBA+MB-compensator

شکل 7 خطای تعقیب در فضای کاری: (A): TJ+MTJ+ جبران ساز مدل مبنا، (B): TJ+MB+ جبران ساز مدل مبنا، (C): TJ+ANN+ جبران ساز مدل مبنا، (D): MBA+MB+ جبران ساز مدل مبنا

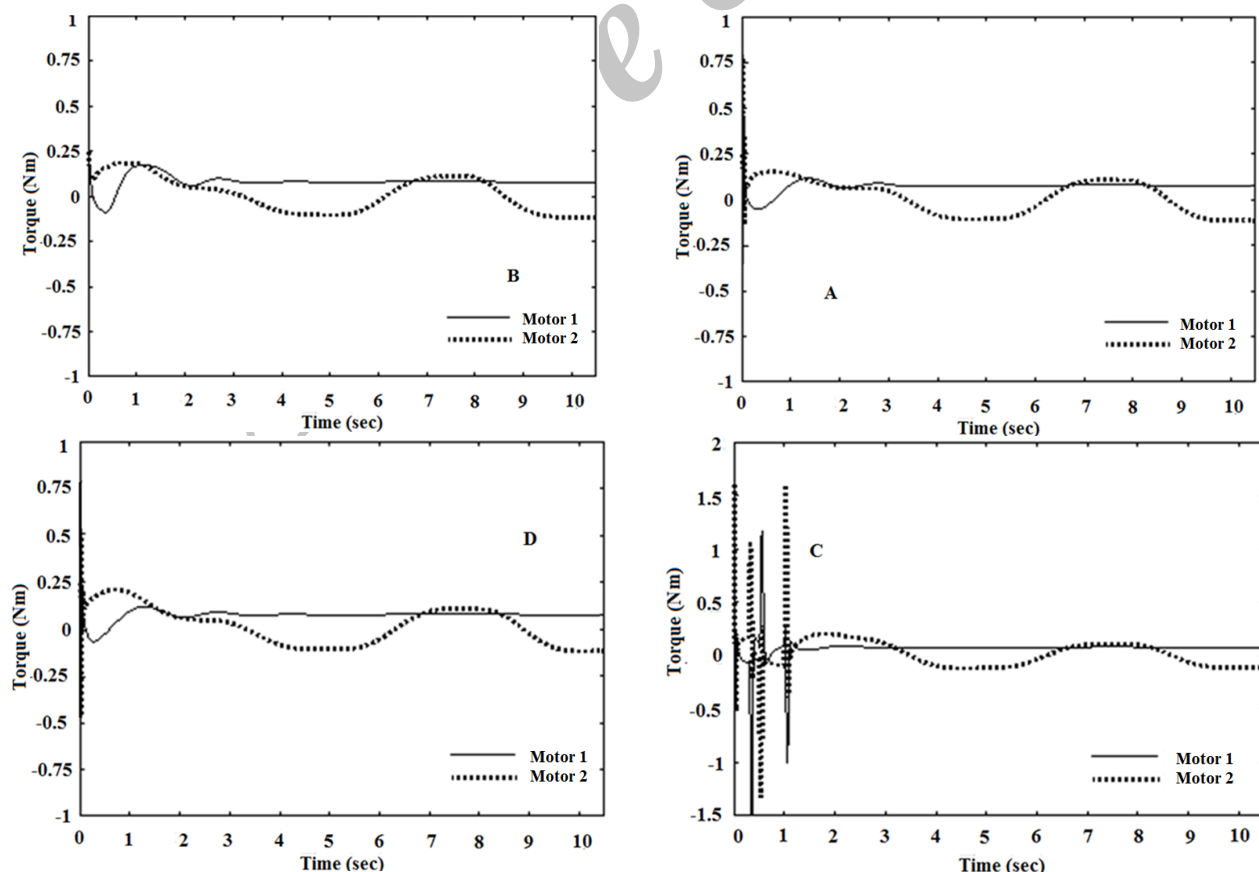


Fig.8 Actuator torques, (A): MTJ+compensator, (B): TJ+MB-compensator, (C): TJ+ANN, (D): MBA+MB-compensator

شکل 8 خطای تعقیب در فضای کاری: (A): TJ+MTJ+ جبران ساز مدل مبنا، (B): TJ+MB+ جبران ساز مدل مبنا، (C): TJ+ANN+ جبران ساز مدل مبنا، (D): MBA+MB+ جبران ساز مدل مبنا

- [10] W. J. Zhang, Parameter identification of LuGre friction model for servo system based on improved particle swarm optimization algorithm, *Proceedings of the 26th Chinese Control Conference*, Zhangjiajie, China, pp. 135-139, 2007.
- [11] D. N. Jayakumar, P. venkatesh, Glowworm swarm optimization algorithm with topics for solving multiple objective environmental economic dispatch problem, *Applied Soft Computing*, Vol. 23, pp. 375-386, 2014.
- [12] K. N. Krishnanand, D. Ghose, Detection of multiple source locations using a glowworm metaphor with applications to collective robotics, *IEEE Swarm Intelligence Symposium*, Pasadena, California, USA, pp. 84-91, 2005.
- [13] S. Lukasik, P. A. Kowalski, Fully informed swarm optimization algorithms: basic concepts, variants and experimental evaluation, *Proceedings of the 2014 Federated Conference on Computer Science and Information Systems*, Warsaw, Poland, pp. 155-161, 2014.
- [14] A. S. Eesa, A. M. A. Brifcani, Z. Orman, Cuttlefish Algorithm-A Novel Bio-Inspired Optimization Algorithm, *International Journal of Scientific & Engineering Research*, Vol. 4, No. 9, pp. 1978-1986, 2013.
- [15] S. A. Moosavian, E. Papadopoulos, Modified transpose Jacobian control of robotic systems, *Automatica*, Vol. 43, No. 7, pp. 1226-1233, 2007.
- [16] S. R. Naghibi, A. A. Pirmohamadi, S. A. A Moosavian, Fuzzy MTEJ controller with integrator for control of underactuated manipulators, *Robotic and Computer Integrated Manufacturing*, Vol. 48, pp. 93-101, 2017.
- [17] J. Park, I. W. Sandberg, Universal approximation using radial-base function network, *Neural computation*, Vol. 3, No. 2, pp. 246-257, 1991.
- [18] Z. Yu, Yang, Full glowworm swarm optimization algorithm for whole-set orders scheduling in single machine, *Scientific World Journal*, Vol. 2013, pp. 1-6, 2013.
- [19] X. Li, Y. Zhu, k. Yang, Self-adaptive composite control for flexible joint robot based on RBF neural network, *IEEE International Conference on Intelligent Computing and Intelligent Systems*, Xiamen, China, pp. 837-840, 2010.
- [20] F. L. Lewis, D. M. Dawson, C. T. Abdallah, *Robot Manipulator Control Theory and Practice*, Second Edition, pp. 148-158, New York: Marcel Dekker, 2004.
- [21] F. Girosi, T. Poggio, Networks and the best approximation property, *Biological Cybernetics*, Vol. 63, No. 3, pp. 169-176, 1990.
- [22] T. Poggio, F. Girosi, Networks for approximation and learning, *Proceedings of the IEEE*, Vol. 78, No. 9, pp. 1481-1497, 1990.
- [23] Y. Liu, S. Tong, Adaptive NN tracking control of uncertain nonlinear discrete-time systems with nonaffine deadzone input, *IEEE Transactions On Cybernetics*, Vol. 45, No. 3, pp. 497-505, 2015.

همین دلیل در صورت بروز اغتشاش مشکلاتی به وجود می‌آورد. بنابراین کنترل کننده ترانهاده ژاکوبین پیبودیافته، در مجموع به دلیل مقاومت بهتر در برایر نامعینی‌ها، ضرایب بھرہ کمتر و سادگی و کمی محاسبات در حالتی که با جبران‌ساز مدل مینا ترکیب شود، جواب بهتری نسبت به سایر انواع کنترل کننده در مشخصه‌های کنترلی، مانند زمان نشست و خیز کمتر و دقیق بیشتر نشان می‌دهد.

## 6- مراجع

- [1] D. Kamopp, Computer simulation of slip-stick friction in mechanical dynamic systems, *Journal of Dynamic Systems, Measurement and Control*, Vol. 107, No. 1, pp. 100-103, 1985.
- [2] A. Hérouvy, P. Dupont, C. C. De Wit, A survey of models, analysis tools and compensation methods for the control of machines with friction, *Automatica*, Vol. 30, No. 7, pp. 1083-1138, 1994.
- [3] P. R. Dahl, *A Solid Friction Model*, Defense Technical Information Center, No. TOR-0158 (3107-18)-1, Aerospace Corp, El Segundo, California, USA, 1968.
- [4] P. A. Bliman, M. Sorine, A system-theoretic approach of systems with hysteresis, Application to friction modeling and compensation, *Proceedings of the 2nd European Control Conference*, Groningen, Netherlands, pp. 1844-1849, June 28- July 1, 1993.
- [5] P. A. Bliman, M. Sorine, Easy to use realistic dry friction models for automatic control, *Proceedings of 3rd European Control Conference*, Rome, Italy, pp. 3788-3794, 1995.
- [6] V. Lampaert, J. Swevers, F. Al-Bender, Modification of the Leuven integrated friction model structure, *IEEE Transactions on Automatic Control*, Vol. 47, No. 4, pp. 683-687, 2002.
- [7] F. Al-Bender, V. Lampaert, J. Swevers, A novel generic model at asperity level for dry friction force dynamics, *Tribology Letters*, Vol. 16, No. 2, pp. 81-93, 2004.
- [8] C.d. Wit, H. Olsson, K. Astrom, P. Lischinsky, A new model for control of systems with friction, *IEEE Transactions on Automatic Control*, Vol. 40, No. 3, pp. 419-425, 1995.
- [9] P. C. Kurian, Space-borne motor friction estimation using genetic algorithm (GA), *2009 International Conference on Control, Automation, Communication and Energy Conservation*, Perundurai, Erode, India, pp. 475-478, 2009.